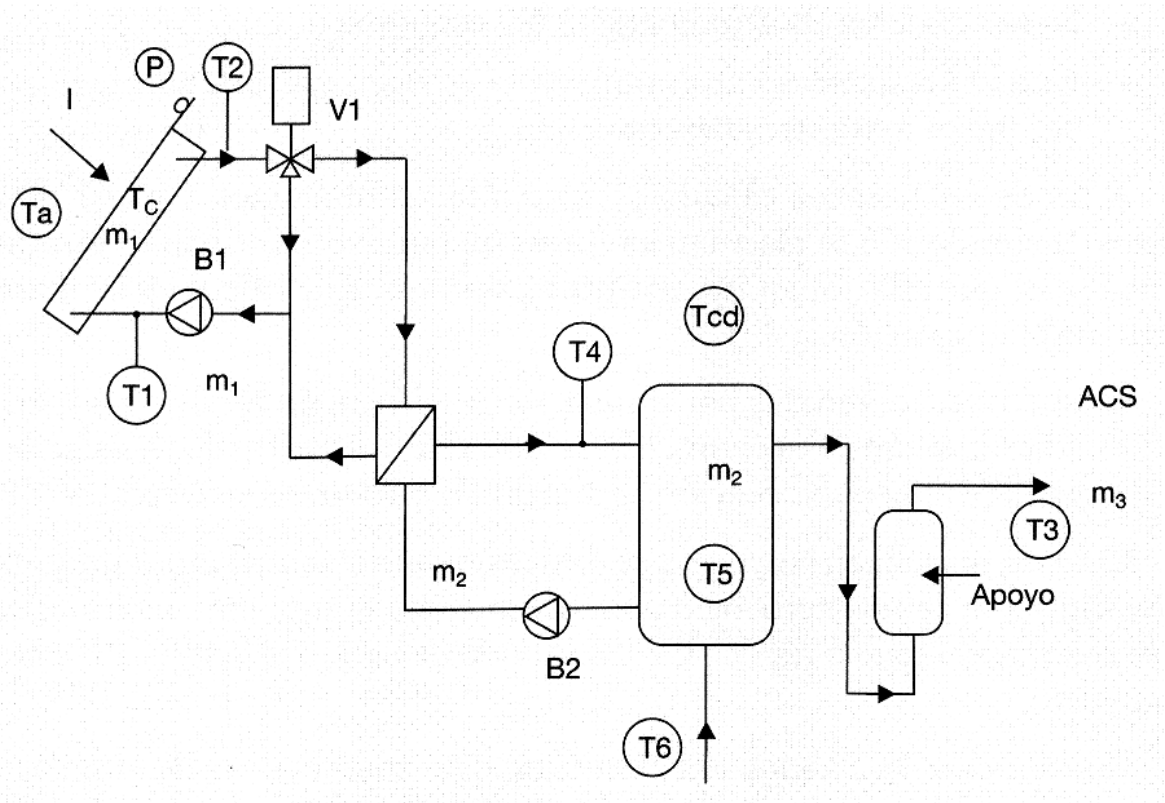
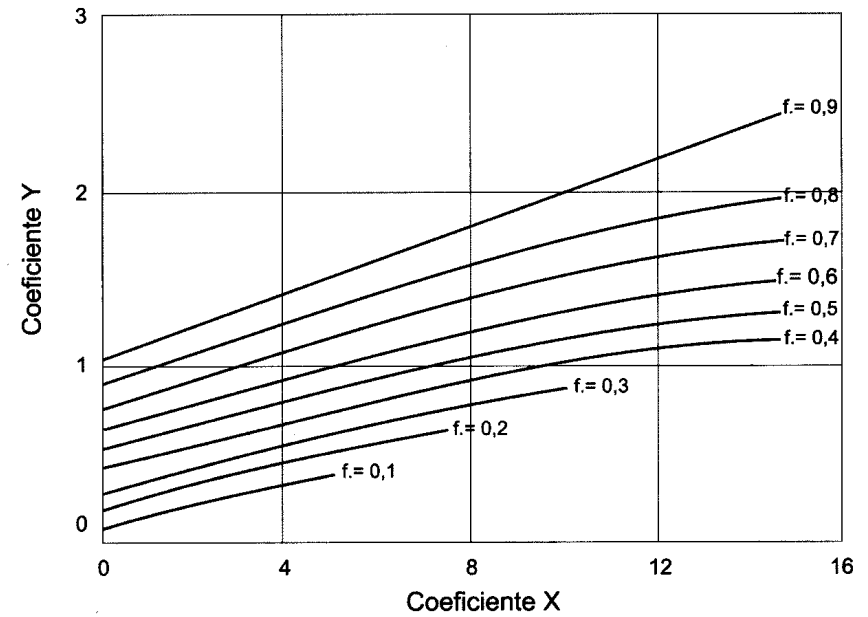
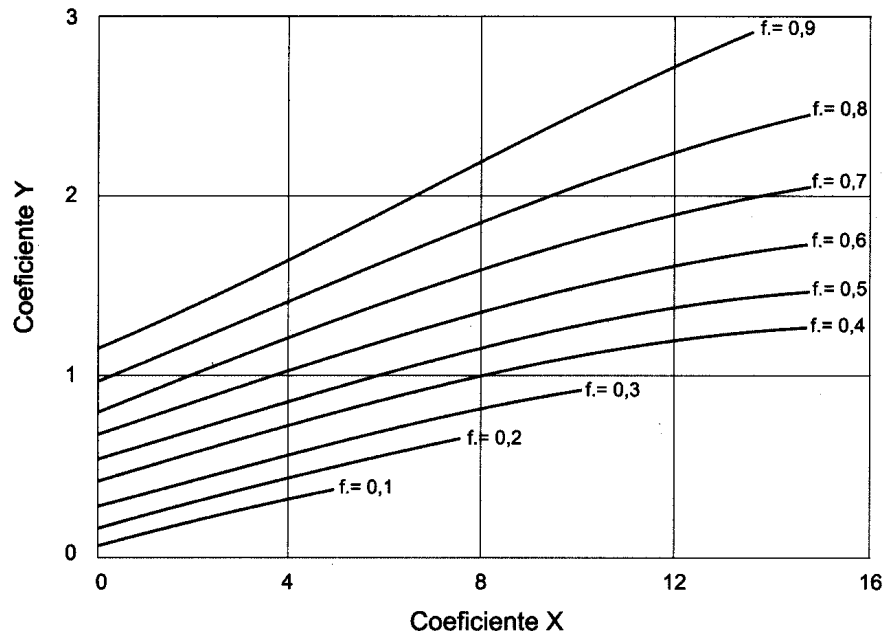


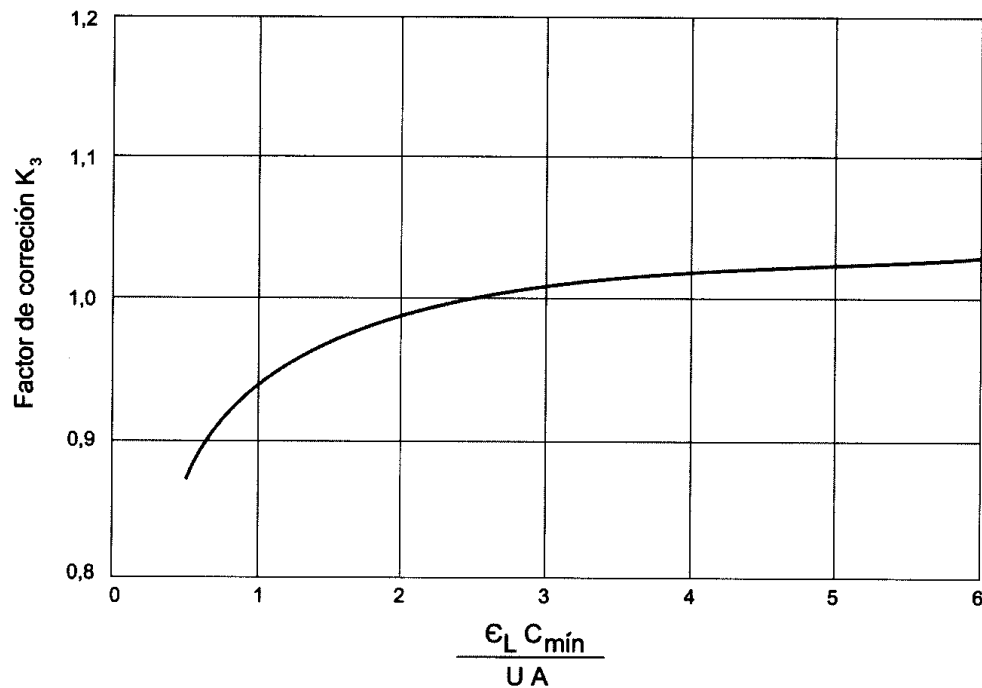
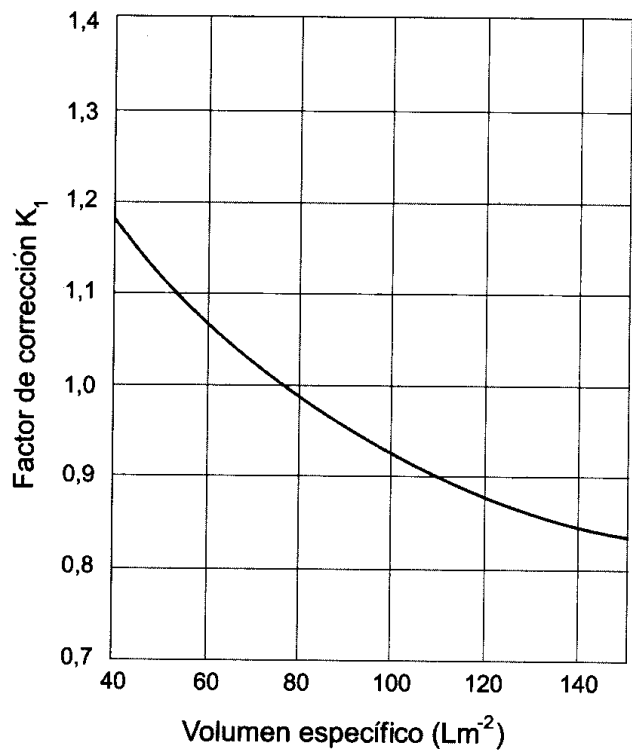
ENERGÍA SOLAR. Esquema de principio para una instalación de ACS.



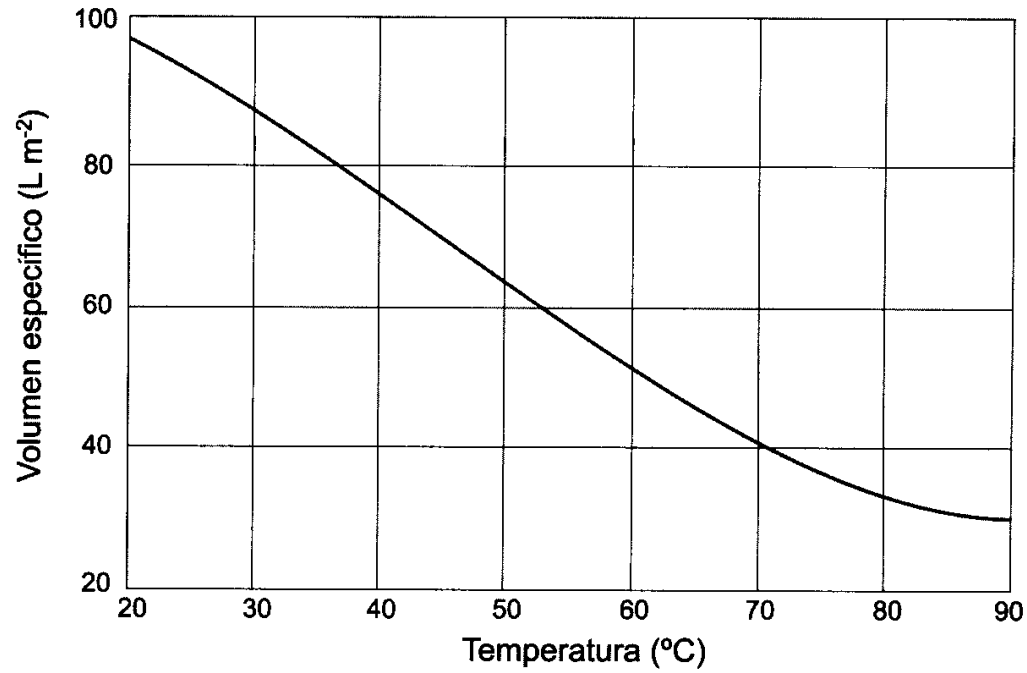
ENERGÍA SOLAR. Curvas-f para sistemas de líquido y de aire



ENERGÍA SOLAR. Factores de corrección K_1 y K_3 para la estimación de los coeficientes X_f e Y_f .

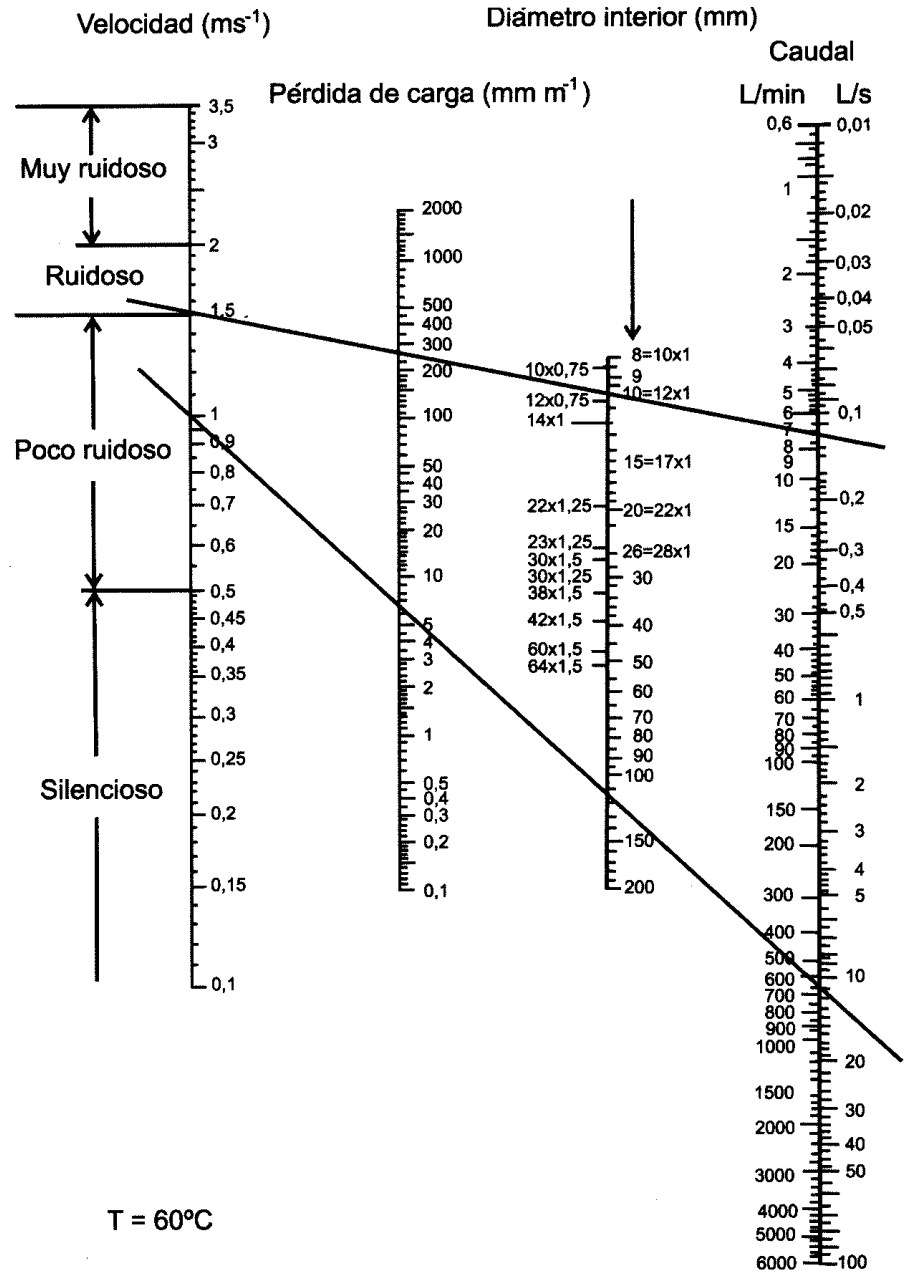


ENERGÍA SOLAR. Volumen de acumulación óptimo en función de la temperatura.



ENERGÍA SOLAR.

Cálculo de tuberías de pared lisa
(cobre, polipropileno,...) para
diferentes condiciones de trabajo.
Temperatura del agua 60°C

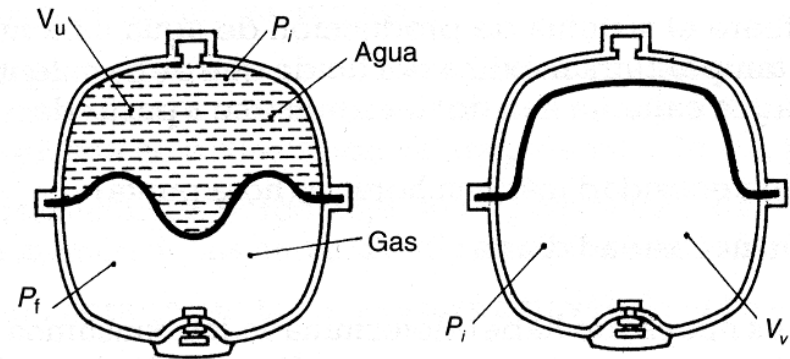
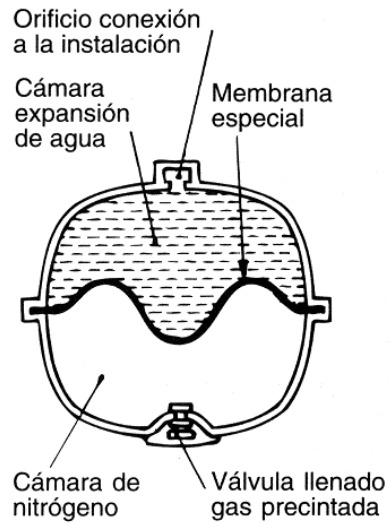


ENERGÍA SOLAR. Espesor de aislante (mm) para diferentes diámetros de tuberías y temperaturas de servicio

d_{ext} (mm)	Temperatura del fluido (°C)			
	40 a 60° C	66 a 100° C	101 a 150° C	151 a 200° C
$d < 35\text{mm}$	20	20	30	40
$35 < d < 60 \text{ mm}$	20	30	40	40
$60 < d < 90 \text{ mm}$	30	30	40	50
$90 < d < 140 \text{ mm}$	30	40	50	50
$140 < d$	30	40	50	60

ENERGÍA SOLAR. Depósitos de expansión. Elementos y parámetros característicos.

Coeficiente de dilatación térmica del agua en función de la temperaturas



Ø mínimo del tubo de conexión a depósito= 20 mm

